

Méthodes mathématiques de la théorie quantique - 2022

Bases de l'Information quantique - Day 1

Nana Engo
serge.nana-engo@facsciences-uy1.cm

Department of Physics
Faculty of Science
University of Yaounde I

<https://github.com/NanaEngo/Memaquan2022>

Bénin, 11-15 Juillet 2022



- 1 Définitions et atouts
- 2 Applications métiers
- 3 Services cloud de développement de l'informatique quantique
- 4 Produit tensoriel et intrication quantique



- 1 Définitions et atouts
- 2 Applications métiers
- 3 Services cloud de développement de l'informatique quantique
- 4 Produit tensoriel et intrication quantique



Definition (Information quantique)

- La **théorie de l'information quantique**, ou simplement l'**information quantique**, est un développement de la théorie de l'information de Claude Shannon exploitant les propriétés de la théorie quantique, comme
 - le principe de superposition
 - l'intrication quantique
 - le non-clonage quantique
- L'unité utilisée pour quantifier l'information quantique est le **qubit ou quantum bit**, par analogie avec le bit d'information classique

Les principales sous-branches de l'information quantique sont

- **L'informatique ou le calcul quantique**
- La cryptographie quantique
- Les codes correcteurs quantiques
- Les communications quantiques

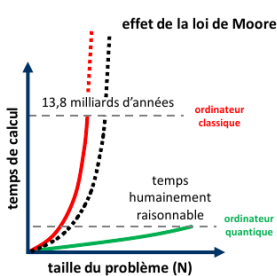


Information quantique

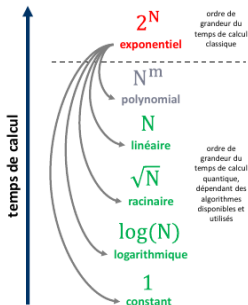
Pourquoi l'informatique quantique ?

- L'informatique quantique sert à **dépasser les limites des processeurs traditionnels** pour des applications spécifiques
 - d'optimisation, de simulation
 - de prédiction
 - de cryptographie

dont la **complexité croît de manière exponentielle** avec la **taille du problème**



(cc) Olivier Esratty, 2020



Atouts information quantique

Problèmes d'optimisation - véhicules autonomes

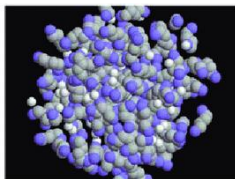
- Lorsque la **combinatoire** à optimiser est très grande, les algorithmes classiques trouvent leurs limites sur les calculateurs (ordinateurs) traditionnels
- **Cela se complique** avec l'optimisation du trafic de parcs de véhicules autonomes de villes intelligentes du futur
 - Flotte intégralement autonome \Rightarrow il faut théoriquement optimiser le trajet individuel de chaque véhicule en $f(\text{départ}, \text{destination})$
 - Algorithmes classiques \equiv fonctionner avec ~ 100 véhicules et trajets, mais au-delà, les capacités de calcul traditionnelles seraient largement saturées. La **quantique arriverait alors à la rescousse!**



Atouts information quantique

Simulation du fonctionnement de la matière au niveau nanoscopique

- La matière est régie par les règles de la théorie quantique qui dépendent d'équations connues
 - mais dont la résolution est un problème d'optimisation complexe à résoudre
 - passant par la recherche d'un minimum énergétique
- ⇒ comprendre l'interaction de nombreux atomes dans des molécules ou des structures cristallines complexes
- Cela concerne les simulations chimiques et moléculaires (matériaux et biologique) : $100 - 10^4$ atomes, $10^5 - 10^8$ configurations



- L'informatique quantique pourrait servir à simuler la physique du monde réel dans l'infiniment petit



Atouts information quantique

Entraînement de modèles de machine learning et des réseaux de neurones

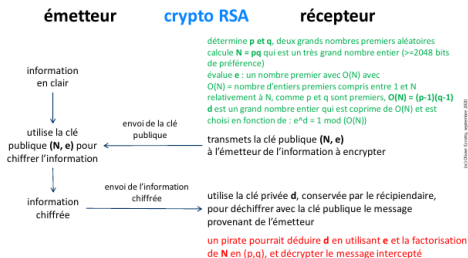
- Il est à la portée des ordinateurs classiques, équipés
 - de GPU (Graphics Processing Unit)
 - de processeurs neuromorphiques qui mettent en œuvre dans le silicium des portes logiques dont l'organisation est très proche de la logique des réseaux de neurones
- Cependant, la puissance de calcul disponible rend difficile l'entraînement des réseaux de grande taille
 - Par exemple, les réseaux convolutifs de reconnaissance d'images ont une résolution d'image en entrée généralement limitée à 227×227 pixels



Atouts information quantique

Factorisation de nombres entiers

- La factorisation de nombres entiers intéresse les services de renseignement pour casser les codes de sécurité sur Internet de type RSA qui reposent sur l'envoi de clés publiques



- L'algorithme quantique de Shor pourrait mettre à mal les systèmes de cryptographiques courants qui reposent sur la notion de clé publique
 - Il devrait permettre de factoriser dans un temps raisonnable des nombres entiers, proportionnel à leur logarithme
 - C'est donc une factorisation en un temps linéaire en fonction du nombre de bits de la clé



- 1 Définitions et atouts
- 2 Applications métiers
- 3 Services cloud de développement de l'informatique quantique
- 4 Produit tensoriel et intrication quantique



Applications métiers

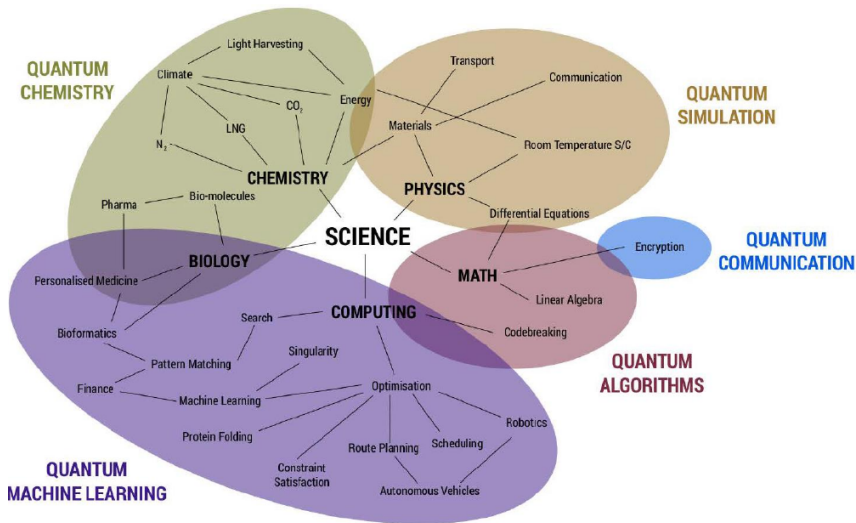
Incertitudes et espoirs

- Les algorithmes quantiques existant sont dans l'ensemble de bien bas niveau. Il reste à les assembler dans des solutions métiers, marché par marché
- Le secteur du calcul quantique est encore des plus immatures puisque les calculateurs quantiques sont encore très limités
- Il est donc difficile de prédire à quelle vitesse les applications quantiques émergeront marché par marché
- Cependant, il existe, depuis 2018, un inventaire des applications de l'informatique quantique classifiées par secteurs d'activités
- Il existe déjà un marché des **outils de modélisation et de développement des solutions quantiques**
 - Ces outils sont déjà bien nombreux et vont continuer de gagner en maturation et s'adapter aux évolutions du matériel
 - Des bibliothèques adaptées aux besoins de marchés spécifiques feront sans doute leur apparition comme dans la **simulation moléculaire ou la finance**



Applications métiers I

Inventaire par secteurs d'activité



Applications métiers II

Inventaire par secteurs d'activité

| INDUSTRIES | SELECTION OF USE-CASES | ENTERPRISES (EXAMPLES) |
|--|--|---|
|  High-tech | <ul style="list-style-type: none">• Machine learning and artificial intelligence, such as neural networks• Search• Bidding strategies for advertisements• Cybersecurity• Online and product marketing• Software verification and validation |  IBM Alibaba Google Microsoft Telstra Baidu Samsung |
|  Industrial goods | <ul style="list-style-type: none">• Logistics: scheduling, planning, product distribution, routing• Automotive: traffic simulation, e-charging station and parking search, autonomous driving• Semiconductors: manufacturing, such as chip layout optimization• Aerospace: R&D and manufacturing, such as fault-analysis, stronger polymers for airplanes• Material science: effective catalytic converters for cars, battery cell research, more-efficient materials for solar cells, and property engineering uses such as OLEDs | Airbus NASA Northrop Grumman Daimler Raytheon BMW Volkswagen Lockheed Martin Honeywell Bosch |



Applications métiers III

Inventaire par secteurs d'activité

| INDUSTRIES | SELECTION OF USE-CASES | ENTERPRISES (EXAMPLES) |
|--|---|--|
|  Chemistry and Pharma | <ul style="list-style-type: none">• Catalyst and enzyme design, such as nitrogenase• Pharmaceuticals R&D, such as faster drug discovery• Bioinformatics, such as genomics• Patient diagnostics for health care, such as improved diagnostic capability for MRI |  BASF JSR Biogen DuPont Dow Chemical Amgen |
|  Finance | <ul style="list-style-type: none">• Trading strategies• Portfolio optimization• Asset pricing• Risk analysis• Fraud detection• Market simulation | J.P. Morgan Barclays Commonwealth Bank Goldman Sachs |
|  Energy | <ul style="list-style-type: none">• Network design• Energy distribution• Oil well optimization | Dubai Electricity & Water Authority BP |



- 1 Définitions et atouts
- 2 Applications métiers
- 3 Services cloud de développement de l'informatique quantique**
- 4 Produit tensoriel et intrication quantique



Quantum Computing as a service - QCaaS

- Jusqu'à un passé très récent, l'informatique quantique était réservée aux labos de Recherche et Développement (R&D) et aux centres universitaires
 - Les contraintes techniques pour assurer la stabilité des qubits sont particulièrement draconiennes
 - Isolé du monde extérieur, le calculateur doit être protégé des interférences magnétiques et refroidi à des températures proches du zéro absolu ($-273.15\text{ }^{\circ}\text{C}$)
- Des considérations techniques qui n'ont pas fait reculer les géants du numérique qui ont conçu des services de calcul quantique managés en mode cloud
 - IBM a été le premier, en 2016, à proposer une offre de **Quantum Computing as a service (QCaaS)**
 - Il est suivi en 2018 par Alibaba Cloud
 - Et en 2019, par Microsoft Azure et Amazon Web Services (AWS)



Comparatif des services cloud d'informatique quantique

| | IBM Quantum Experience | Microsoft Azure Quantum | AWS Braket | Alibaba Cloud |
|-------------------------|--|--|---|--|
| Année Start | 2016 | 2019 | 2019 | 2018 |
| Calculateurs | Calculateurs quantiques en propre | Honeywell, IonQ, QCI | IonQ, Rigetti, D-Wave | Calculateurs quantiques en propre |
| SDK | Qiskit | Quantum Development Kit | SDK Amazon Braket | Alibaba Cloud Quantum Development Platform |
| Langages supportés | OpenQASM, Python | Q#, Python, C++, C | Python | Python |
| Partenaires académiques | Université de Princeton, The Coding School | Membre des réseaux Quantum Science Center (QSC) et Q-NEXT, Pacific Northwest National Laboratory | California Institute of Technology, universités de Stanford, du MIT et de Chicago | Académie chinoise des sciences |



- 1 Définitions et atouts
- 2 Applications métiers
- 3 Services cloud de développement de l'informatique quantique
- 4 Produit tensoriel et intrication quantique**



Produit tensoriel de deux états I

Definition (Produit tensoriel de deux espaces de Hilbert)

- L'espace d'états \mathcal{H} est appelé **produit tensoriel** de \mathcal{H}_A et \mathcal{H}_B , et noté $\mathcal{H} = \mathcal{H}_A \otimes \mathcal{H}_B$, si

$$\begin{aligned} \mathcal{H}_A \times \mathcal{H}_B &\mapsto \mathcal{H} \\ (|\psi_A\rangle, |\psi_B\rangle) &\mapsto |\psi_A\rangle \otimes |\psi_B\rangle = |\psi_A\rangle |\psi_B\rangle = |\psi_A \psi_B\rangle \end{aligned} \quad (1)$$

- $|\psi_A\rangle \otimes |\psi_B\rangle$, le **produit tensoriel** de $|\psi_A\rangle$ et $|\psi_B\rangle$ (**outer product** en anglais), est linéaire par rapport à la multiplication (2a), et distributive par rapport à l'addition vectorielle (2b)

$$[|\psi_A\rangle + \lambda|\psi'_A\rangle] \otimes |\psi_B\rangle = |\psi_A\rangle \otimes |\psi_B\rangle + \lambda|\psi'_A\rangle \otimes |\psi_B\rangle \quad (2a)$$

$$|\psi_A\rangle \otimes [|\psi_B\rangle + \lambda|\psi'_B\rangle] = |\psi_A\rangle \otimes |\psi_B\rangle + \lambda|\psi_A\rangle \otimes |\psi'_B\rangle \quad (2b)$$

Produit tensoriel de deux états II

Definition (Produit scalaire dans un espace produit tensoriel)

Le **produit scalaire** sur $\mathcal{H} = \mathcal{H}_A \otimes \mathcal{H}_B$ se définit de la manière suivante

$$\langle \psi'_B \psi'_A | \psi_A \psi_B \rangle = \langle \psi'_A | \psi_A \rangle \langle \psi'_B | \psi_B \rangle \quad (3)$$

Si $\{|n\rangle\}$ et $\{|m\rangle\}$ sont les bases orthonormées de \mathcal{H}_A et \mathcal{H}_B telles que

$$|\psi_A\rangle = \sum_{n=1}^N \alpha_n |n\rangle \quad |\psi_B\rangle = \sum_{m=1}^M \alpha_m |m\rangle \quad (4)$$

alors

$$|\psi_A \psi_B\rangle = \sum_{n,m} \alpha_n \alpha_m |nm\rangle \quad \text{avec} \quad \langle m' n' | nm \rangle = \delta_{n' n} \delta_{m' m}$$



Produit tensoriel de deux états III

Exemple 4.1 – Produit tensoriel de deux états

On considère dans la base $\{|0\rangle, |1\rangle\}$ $|\psi_A\rangle = \frac{1}{\sqrt{2}}(|0\rangle - |1\rangle) = \frac{1}{\sqrt{2}}\begin{pmatrix} 1 \\ -1 \end{pmatrix}$
et $|\psi_B\rangle = \frac{1}{\sqrt{2}}(|0\rangle + |1\rangle) = \frac{1}{\sqrt{2}}\begin{pmatrix} 1 \\ 1 \end{pmatrix}$. Dans la base $\{|00\rangle, |01\rangle, |10\rangle, |11\rangle\}$
le produit tensoriel $|\psi_A\rangle \otimes |\psi_B\rangle$ s'écrit :

- sous forme matricielle

$$|\psi_A\rangle \otimes |\psi_B\rangle = \frac{1}{\sqrt{2}} \begin{pmatrix} 1 \cdot |\psi_B\rangle \\ -1 \cdot |\psi_B\rangle \end{pmatrix} = \frac{1}{2} \begin{pmatrix} 1 \\ 1 \\ -1 \\ -1 \end{pmatrix} \quad (6)$$

- sous forme vectorielle

$$\begin{aligned} |\psi_A\rangle \otimes |\psi_B\rangle &= \frac{1}{\sqrt{2}}(|0\rangle - |1\rangle) \otimes \frac{1}{\sqrt{2}}(|0\rangle + |1\rangle) \\ &= \frac{1}{2}(|00\rangle + |01\rangle - |10\rangle - |11\rangle) \end{aligned} \quad (7)$$

Produit tensoriel des opérateurs I

Definition (Produit tensoriel de deux opérateurs)

Soient A et B deux opérateurs agissant respectivement dans \mathcal{H}_A et \mathcal{H}_B . Un opérateur $A \otimes B$ agissant dans $\mathcal{H} = \mathcal{H}_A \otimes \mathcal{H}_B$ est tel que

$$(A \otimes B)|\psi_A \psi_B\rangle = A|\psi_A\rangle \otimes B|\psi_B\rangle \quad (8)$$

Si A et B sont hermitiens, alors $A \otimes B$ est un opérateur hermitien

- Une classe simple des opérateurs de \mathcal{H} est

$$A \otimes \mathbb{I}_B \text{ et } \mathbb{I}_A \otimes B \quad (9)$$

- Comme

$$(A \otimes B) \cdot (C \otimes D) = (AC) \otimes (BD) \quad (10)$$

$$[A \otimes \mathbb{I}_B, \mathbb{I}_A \otimes B] = (A \otimes \mathbb{I}_B) \cdot (\mathbb{I}_A \otimes B) - (\mathbb{I}_A \otimes B) \cdot (A \otimes \mathbb{I}_B) = 0 \quad (11)$$



Produit tensoriel des opérateurs II

- Si $A|\psi_A\rangle = a|\psi_A\rangle$, alors $|\psi_A \otimes \psi_B\rangle$ est aussi vecteur propre de $A \otimes I_B$ avec la valeur propre a :

$$A \otimes I_B |\psi_A \otimes \psi_B\rangle = a |\psi_A\rangle \otimes \psi_B \quad (12)$$

- On omet très souvent d'écrire explicitement les opérateurs identités I_A et I_B pour écrire simplement

$$A |\psi_A \otimes \psi_B\rangle = a |\psi_A \otimes \psi_B\rangle \quad \text{ou} \quad A |\psi_A \psi_B\rangle = a |\psi_A \psi_B\rangle \quad (13)$$

en supprimant le produit tensoriel



Exemple 4.2 – Produit tensoriel des opérateurs

- 1 La matrice représentant le produit tensoriel des matrices de Pauli $X = \begin{pmatrix} 0 & 1 \\ 1 & 0 \end{pmatrix}$ et $Z = \begin{pmatrix} 1 & 0 \\ 0 & -1 \end{pmatrix}$ est

$$X \otimes Z = \begin{pmatrix} 0.Z & 1.Z \\ 1.Z & 0.Z \end{pmatrix} = \begin{pmatrix} \textcircled{0} & Z \\ Z & \textcircled{0} \end{pmatrix} = \left(\begin{array}{cc|cc} 0 & 0 & 1 & 0 \\ 0 & 0 & 0 & -1 \\ \hline 1 & 0 & 0 & 0 \\ 0 & -1 & 0 & 0 \end{array} \right) \quad (14)$$

- 2 Évaluer $Z \otimes X$ et conclure



Exemple 4.3 – Probability of finding a 2-qubit and a 1-qubit

A system is in the state

$$|\psi\rangle = \frac{1}{\sqrt{8}}|00\rangle + \sqrt{\frac{3}{8}}|01\rangle + \frac{1}{2}|10\rangle + \frac{1}{2}|11\rangle \quad (15)$$

- 1 *What is the probability that measurement finds the system in the state $|\phi\rangle = |01\rangle$?*
 - 2 *What is the probability that measurement finds the first qubit in the state $|0\rangle$? What is the state of the system after measurement ?*
-
- 1 Given that the system is in the state $|\psi\rangle$, the probability of finding it in the state $|\phi\rangle = |01\rangle$ is calculated using the Born



rule, that is $\mathcal{P} = |\langle\phi|\psi\rangle|^2$. Since $\langle 0|1\rangle = \langle 1|0\rangle = 0$, we have

$$\begin{aligned}\langle\phi|\psi\rangle &= \langle 10|\left(\frac{1}{\sqrt{8}}|00\rangle + \sqrt{\frac{3}{8}}|01\rangle + \frac{1}{2}|10\rangle + \frac{1}{2}|11\rangle\right) \\ &= \sqrt{\frac{3}{8}}\langle 0|0\rangle\langle 1|1\rangle = \sqrt{\frac{3}{8}}\end{aligned}\quad (16)$$

Therefore the probability is

$$\mathcal{P} = |\langle\phi|\psi\rangle|^2 = \frac{3}{8}\quad (17)$$

- 2 To find the probability that measurement finds the first qubit in the state $|0\rangle$, we can apply $P_0 \otimes \mathbb{I} = |0\rangle\langle 0| \otimes \mathbb{I}$ to the state. So the projection operator P_0 is applied to the first qubit and the identity operator to the second qubit, leaving the second qubit unchanged



Then,

$$\begin{aligned} P_0 \otimes \mathbb{I}|\psi\rangle &= |0\rangle\langle 0| \otimes \mathbb{I} \left(\frac{1}{\sqrt{8}}|00\rangle + \sqrt{\frac{3}{8}}|01\rangle + \frac{1}{2}|10\rangle + \frac{1}{2}|11\rangle \right) \\ &= \frac{1}{\sqrt{8}}|0\rangle\langle 0| \otimes |0\rangle + \sqrt{\frac{3}{8}}|0\rangle\langle 0| \otimes |1\rangle = \frac{1}{\sqrt{8}}|00\rangle + \sqrt{\frac{3}{8}}|01\rangle \end{aligned}$$

The probability of obtaining this result (Born's rule) is

$$\begin{aligned} \mathcal{P} &= \langle \psi | P_0 \otimes \mathbb{I} | \psi \rangle = \left(\frac{1}{\sqrt{8}}\langle 00| + \sqrt{\frac{3}{8}}\langle 01| + \frac{1}{2}\langle 10| + \frac{1}{2}\langle 11| \right) \left(\frac{1}{\sqrt{8}}|00\rangle + \sqrt{\frac{3}{8}}|01\rangle \right) \\ &= \frac{1}{8} + \frac{3}{8} = \frac{1}{2} \end{aligned}$$

According to the postulate 5, the state of the system after measurement is found to be

$$\frac{\frac{1}{\sqrt{8}}|00\rangle + \sqrt{\frac{3}{8}}|01\rangle}{\sqrt{\langle \psi | P_0 \otimes \mathbb{I} | \psi \rangle}} = \sqrt{2} \left(\frac{1}{\sqrt{8}}|00\rangle + \sqrt{\frac{3}{8}}|01\rangle \right) = \frac{1}{2}|00\rangle + \frac{\sqrt{3}}{2}|01\rangle$$



États intriqués (*entangled states* en anglais)

- Un état intriqué ou corrélé est un état non factorisable !
- Lorsqu'un système est dans un état intriqué, les propriétés du système global sont définies, mais pas celles de chacun des sous-systèmes.
- Parmi les états intriqués les plus populaires, on a les 4 états de Bell

$$|B_{00}\rangle = \frac{1}{\sqrt{2}}(|00\rangle + |11\rangle) \qquad |B_{10}\rangle = \frac{1}{\sqrt{2}}(|00\rangle - |11\rangle) \qquad (18a)$$

$$|B_{01}\rangle = \frac{1}{\sqrt{2}}(|01\rangle + |10\rangle) \qquad |B_{11}\rangle = \frac{1}{\sqrt{2}}(|01\rangle - |10\rangle) \qquad (18b)$$

- Sous une forme compact,

$$|B_{xy}\rangle = \frac{1}{\sqrt{2}}(|0y\rangle + (-1)^x |1(1-y)\rangle), \qquad x, y \in \{0, 1\}$$



États Intriqués - États de Bell II

- On montre facilement que

$$Z \otimes Z|B_{xy}\rangle = (-1)^y|B_{xy}\rangle \quad X \otimes X|B_{xy}\rangle = (-1)^x|B_{xy}\rangle \quad Y \otimes Y|B_{xy}\rangle = (-1)^{x+y}|B_{xy}\rangle \quad (20)$$

- Par exemple, comme

$$Z|y\rangle = (-1)^y|y\rangle \text{ et } Z|1-y\rangle = (-1)^{1-y}|1-y\rangle \quad (21)$$

on a

$$\begin{aligned} Z \otimes Z|B_{xy}\rangle &= \frac{1}{\sqrt{2}}[Z|0\rangle \otimes Z|y\rangle + (-1)^x Z|1\rangle \otimes Z|1-y\rangle] \\ &= \frac{1}{\sqrt{2}}[(-1)^y|0y\rangle + (-1)^x(-1)(-1)^{1-y}|1(1-y)\rangle] \quad (22) \\ &= (-1)^y \frac{1}{\sqrt{2}}[|0y\rangle + (-1)^x|1(1-y)\rangle] = (-1)^y|B_{xy}\rangle \end{aligned}$$



États Intriqués - États de Bell III

- Soient deux qubits de \mathcal{H}_A et \mathcal{H}_B ,

$$|\varphi_A\rangle = a_0|0_A\rangle + a_1|1_A\rangle, \quad |a_0|^2 + |a_1|^2 = 1 \quad (23a)$$

$$|\varphi_B\rangle = b_0|0_B\rangle + b_1|1_B\rangle, \quad |b_0|^2 + |b_1|^2 = 1 \quad (23b)$$

$$|\varphi_A\varphi_B\rangle = a_0b_0|0_A0_B\rangle + a_0b_1|0_A1_B\rangle + a_1b_0|1_A0_B\rangle + a_1b_1|1_A1_B\rangle \quad (24)$$

- Un vecteur arbitraire $|\Psi\rangle$ de \mathcal{H} est

$$|\Psi\rangle = \alpha|0_A0_B\rangle + \beta|0_A1_B\rangle + \gamma|1_A0_B\rangle + \delta|1_A1_B\rangle \quad (25)$$

n'est en général pas de la forme (24)!. On dit qu'il est dans un état intriqué



États Intriqués - États de Bell IV

- Pour que $|\Psi\rangle$ soit de la forme $|\varphi_A\varphi_B\rangle$ (produit tensoriel), une condition nécessaire et suffisante est que

$$\alpha = a_0b_0, \quad \beta = a_0b_1, \quad \gamma = a_1b_0, \quad \delta = a_1b_1 \quad \Rightarrow \quad \alpha\delta = \beta\gamma \quad (26)$$

ce qui *à priori* n'a aucune raison d'être valide.

L'état de Bell

$$|B_{01}\rangle = \frac{1}{\sqrt{2}}(|0_A1_B\rangle + |1_A0_B\rangle) \quad (27)$$

est manifestement intriqué puisque

$$\alpha = 0, \quad \beta = \gamma = \frac{1}{\sqrt{2}}, \quad \delta = 0 \quad \Rightarrow \quad \alpha\delta \neq \beta\gamma \quad (28)$$